

САМОДИФФУЗИЯ МАКРОМОЛЕКУЛ ПРИ КРИСТАЛЛИЗАЦИИ ПОЛИМЕРА ИЗ РАСТВОРА

Маклаков А. И., Двояшкин Н. К.

Изучение характера поступательного движения молекул полимера в процессе кристаллизации представляет особый интерес, так как в ряде случаев скорость фазового перехода определяется скоростью подвода вещества к границе раздела фаз [1]. Подобного рода исследования практически не проводили из-за отсутствия приемлемой методики. Импульсный ЯМР с использованием градиента магнитного поля [2] позволяет достаточно быстро, в течение нескольких минут, измерить одну из характеристик поступательного движения — коэффициент самодиффузии D .

Цель работы — изучение самодиффузии молекул полиэтиленгликоля (ПЭГ) при кристаллизации из концентрированных растворов импульсным методом ЯМР.

Исследовали ПЭГ с $\bar{M}_n=2000$, характеристики которого приведены в работе [2]; растворителями служили дейтерированные бензол и ацетон, а также четыреххлористый углерод марки х. ч. Использование аprotонных растворителей дает возможность следить за поведением только полимера. Исследовали образцы ПЭГ — бензол с исходной объемной долей растворенного полимера $\varphi_2(0)=0,87; 0,63; 0,42$ и $0,24$, а также системы ПЭГ — ацетон и ПЭГ — CCl_4 с $\varphi_2(0)=0,63$ и чистый полимер. Методика проведения изотермической кристаллизации описана в работах [2, 3], температура кристаллизации T_k изменялась от -15 до $+40^\circ$. Значения D полимера в жидкой фазе определяли методом ЯМР с использованием импульсного градиента магнитного поля [2], долю закристаллизованного ПЭГ — из измерений ядерной поперечной релаксации протонов, как в работах [2, 3]. Обе величины измеряли непосредственно по ходу кристаллизации образца. Температуру плавления $T_{пл}$ полимера определяли методом ДТА.

На рис. 1 представлены зависимости D и доли закристаллизованного полимера p_k ПЭГ, растворенного в бензole, от времени кристаллизации t_k при различных T_k . На начальных стадиях процесса обе величины растут со временем, на конечных — становятся почти постоянными и равными $D(\infty)$ и $p_k(\infty)$. Последние значения зависят от степени переохлаждения системы $\Delta T=T_{пл}-T_k$, количества и природы растворителя. В ходе кристаллизации ПЭГ из расплава величина D остается практически постоянной.

В качестве параметра, определяющего степень изменения скорости трансляционного движения макромолекул в дальнейшем используется безразмерная величина $D^*=D(t_k)/D(0)$, где $D(0)$ и $D(t_k)$ — коэффициенты самодиффузии ПЭГ в начальный момент и в момент времени t_k фазового перехода. На рис. 2 приведены зависимости D^* от времени кристаллизации ПЭГ из различных растворов. Видно, что, несмотря на одинаковую степень переохлаждения ($\Delta T=19^\circ$), характер изменения D^* зависит от природы растворителя, причем значения $D^*(\infty)$ на конечных стадиях фазового перехода различны.

Обнаруженное возрастание D и D^* в ходе кристаллизации ПЭГ из растворов, по-видимому, отражает уменьшение концентрации кристаллизующегося компонента в жидкой фазе по мере протекания процесса. Как было показано в работе [4], концентрационная зависимость D ПЭГ в бензольных растворах удовлетворительно описывается выражением

$$D=D_0 \exp(-\alpha \varphi_2), \quad (1)$$

где α — константа, определяемая природой полимера и растворителя и практически не зависящая от температуры, D_0 — предэкспоненциальный множитель. Если полагать, что молекулы растворителя не входят в обра-

зующуюся кристаллическую решетку (как это было показано в работе [3]), то концентрацию ПЭГ в жидкой фазе образца в момент времени t_k , т. е. $\varphi_2(t_k)$, можно связать с долей закристаллизованного полимера $p_k(t_k)$ соотношением

$$\varphi_2(t_k) = \frac{1 - p_k(t_k)}{\frac{1}{\varphi_2(0)} - p_k(t_k)} \quad (2)$$

Если считать, что изменение D в ходе кристаллизации связано лишь с уменьшением $\varphi_2(t_k)$, то подстановка формулы (2) в уравнение (1) дает,

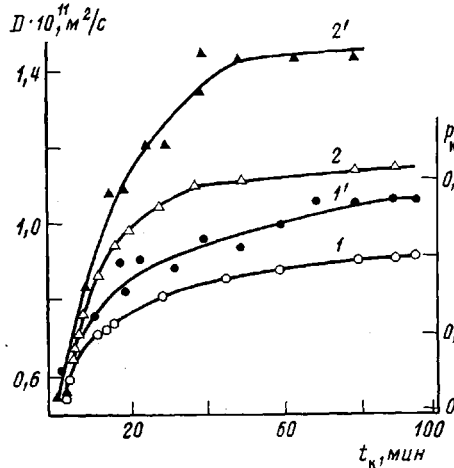


Рис. 1

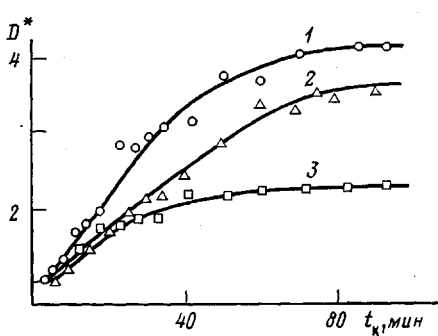


Рис. 2

Рис. 1. Зависимости p_k (1, 2) и D (1', 2') ПЭГ от времени кристаллизации t_k в системе ПЭГ – бензол при $\varphi_2(0)=0,63$, $T_k=22$ (1, 1') и 15° (2, 2')

Рис. 2. Зависимость безразмерного коэффициента D^* ПЭГ, кристаллизующегося из растворов в ацетоне (1), CCl_4 (2) и бензole (3) при одинаковых значениях $\varphi_2(0)=-0,63$ и степени переохлаждения $\Delta T=19^\circ$. $D(0) \cdot 10^{11} \text{ m}^2/\text{s}$ для растворов в ацетоне, бензole и CCl_4 составляют соответственно 1,0; 0,58 и 0,36

что кривая $D(t_k)$ должна описываться уравнением

$$D(t_k) = D_0 \exp \left\{ -\alpha \frac{1 - p_k(t_k)}{\frac{1}{\varphi_2(0)} - p_k(t_k)} \right\} \quad (3)$$

При этом предполагается, что образовавшиеся в растворе кристаллы ПЭГ не оказывают существенного влияния на процесс самодиффузии, поскольку, как было сказано выше, даже при кристаллизации ПЭГ из чистого расплава D практически не меняется, хотя $p_k(\infty)$ при этом достигает значений 0,8–0,9. Так как величины $p_k(t_k)$ могут быть получены независимым методом из измерений ядерной поперечной релаксации в процессе фазового перехода, представляется возможным проверить справедливость предположений, сделанных при выводе уравнения (3): в этом случае должна существовать линейная зависимость $\ln D$ от параметра $\frac{1 - p_k(t_k)}{\frac{1}{\varphi_2(0)} - p_k(t_k)}$. Это действительно наблюдается для изученных систем

при различных T_k и $\varphi_2(0)$ (рис. 3). Из рис. 3 следует, что параметр α , определяющий наклон полученных прямых, действительно не зависит от T . Значения α для пар ПЭГ – бензол и ПЭГ – CCl_4 совпадают и равны

6,2, но несколько отличаются значения α для пары ПЭГ – ацетон, для которой $\alpha=8,3$.

Измерение D в процессе кристаллизации полимера из концентрированного раствора дает возможность, используя соотношения (3) и (1), получить одновременно вид концентрационной зависимости коэффициента самодиффузии макромолекулы в системе полимер – растворитель.

Остановимся на зависимости величин $D(\infty)$ и $p_k(\infty)$ от T_k для системы ПЭГ – бензол (рис. 1), для которой методом ДТА была получена фазовая диаграмма (рис. 4), соответствующая кристаллическому равновесию [5]. Используя эту диаграмму и правило «рычага» [5], нетрудно показать, что равновесное значение доли закристаллизованного полимера при $T_k=22^\circ$ равно 0,80, а при $T_k=15^\circ$ – 0,92. Как и ожидалось, эти величины

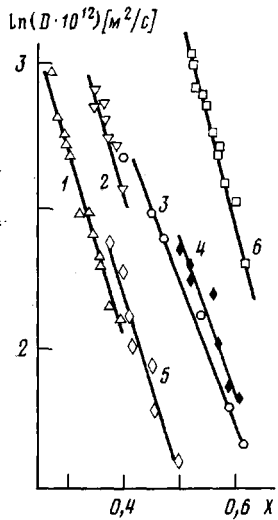


Рис. 3

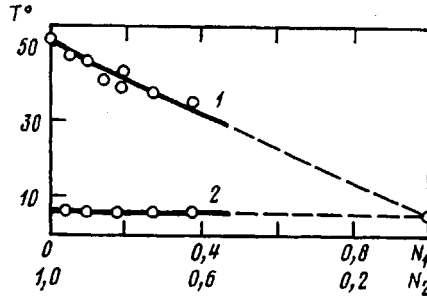


Рис. 4

Рис. 3. Зависимость $\ln D$ от параметра $X = \frac{1-p_k(t_k)}{\frac{1}{\phi_2(0)} - p_k(t_k)}$ в ходе кристаллизации системы ПЭГ – бензол с $\phi_2(0)=0,42$ при $T_k=10$ (1) и 15° (2); $\phi_2(0)=0,63$ при $T_k=15$ (3) и 22° (4); системы ПЭГ – CCl_4 с $\phi_2(0)=0,63$ и $T_k=22^\circ$ (5) и системы ПЭГ – ацетон с $\phi_2(0)=0,63$ и $T_k=22^\circ$ (6)

Рис. 4. Фазовая диаграмма системы ПЭГ – бензол. N_1 и N_2 – мольные доли бензола и мономерных звеньев ПЭГ соответственно. 1 – кривая ликвидуса, 2 – кривая плавления чистого растворителя

несколько превышают экспериментальные значения $p_k(\infty)$, отвечающие конечным временам $t_k=100$ мин. Эти значения $p_k(\infty)$ для указанных выше температур составляют 0,42 и 0,63 соответственно. Таким образом, при одинаковых $\phi_2(0)$ большие T_k соответствуют меньшие $p_k(\infty)$ и, согласно уравнению (3), меньшие значения $D(\infty)$, что и наблюдается экспериментально (рис. 1). По-видимому, возрастание D вследствие уменьшения концентрации полимера при его кристаллизации больше, чем уменьшение D из-за увеличения температуры T_k (от 15 до 22°).

Из рис. 2 следует, что при одинаковых ΔT и $\phi_2(0)$ значения $D^*(\infty)$ зависят от природы растворителя. Это можно объяснить, если учесть уравнение (3), из которого нетрудно получить

$$D^*(\infty) = \exp \left\{ \frac{\alpha [1-\phi_2(0)]}{\frac{1}{p_k(\infty)\phi_2(0)} - 1} \right\} \quad (4)$$

Для систем ПЭГ – бензол, ПЭГ – CCl_4 и ПЭГ – ацетон при $\varphi_2(0) = -0,63$ значения $r_\kappa(\infty)$ равны 0,52, 0,71 и 0,80 соответственно. Подставляя эти значения и полученные ранее величины α в формулу (4), удалось оценить значения $D^*(\infty)$. Оказалось, что для указанных выше систем они равны 3,1, 6,0 и 12,5 соответственно. Это удовлетворительно согласуется с экспериментально определенными величинами $D^*(\infty)$ (2,2, 3,4 и 4,2 соответственно).

Следует заметить, что, вообще говоря, процесс самодиффузии макромолекул при кристаллизации полимера из раствора можетискажаться из-за появления градиента концентрации вблизи поверхности образующихся кристаллических структур. Однако из-за большой вязкости раствора, большой концентрации зародышей и сильной локализации градиента концентрации эти искажения невелики, поэтому наблюдаемые закономерности могут трактоваться на основе законов, описывающих процессы самодиффузии.

ЛИТЕРАТУРА

1. Манделькерн Л. Кристаллизация полимеров. М.: Химия, 1966. 336 с.
2. Двояшкін Н. К., Маклаков А. И., Смирнов В. С. Высокомолек. соед. А, 1979, т. 21, № 12, с. 2702.
3. Двояшкін Н. К. Дис. на соискание уч. ст. канд. физ.-мат. наук. Казань: Изд-во Казапск. ун-та, 1980, 135 с.
4. Маклаков А. И., Двояшкін Н. К. Высокомолек. соед. Б, 1983, т. 25, № 6, с. 424.
5. Папков С. П. Равновесие фаз в системе полимер – растворитель. М.: Химия, 1981, с. 17.

Казанский государственный университет
им. В. И. Ульянова-Ленина

Поступила в редакцию
23.III.1982

УДК 541.64:547.422

ИЗУЧЕНИЕ ДЕСОРБЦИИ ОКИСИ ЭТИЛЕНА ИЗ ПОЛИВИНИЛХЛОРИДНЫХ ПЛЕНОК

Григорьев Ю. Н., Скоромнов И. В., Горелик Б. А.,
Семененко Э. И.

Окись этилена (ОЭ) широко применяется для газовой стерилизации полимерных изделий медицинского назначения. Одной из наиболее важных проблем, ограничивающих применение газовой стерилизации, является удаление остаточной ОЭ из стерилизуемых объектов. В литературе имеется достаточно много публикаций по данному вопросу [1, 2]. Однако большинство работ носит качественный характер: в них, как правило, не приводятся количественные характеристики процесса сорбции ОЭ полимерными материалами. Нами предпринята попытка изучения взаимодействия окиси этилена с ПВХ, одним из наиболее широко применяемых полимеров в медицинских изделиях.

Сорбцию ОЭ изучали на непластифицированном ПВХ марки С-70 ($M_n=1,04 \cdot 10^5$, $M_w=2,05 \cdot 10^5$). Образцы в виде пленок толщиной 40–50 мкм были получены поливом из 2%-ного раствора ПВХ в ТГФ на целлофановую подложку. Остаточный растворитель экстрагировали в течение 120 ч диэтиловым эфиrom в аппарате Сокслетта. После этого пленки вакуумировали до остаточного давления 1,3 Па и выдерживали при 70° в течение 4 ч. Содержание ТГФ в ПВХ, определенное на хроматографе «Беккер – Паккард 407» с пламенно-ионизационным детектором, составило не более 0,05 %. После вакуумирования пленки подвергали термическому отжигу при 100–110° и давлении 1,5·10⁻⁷ Па в течение 5 мин. Рассчитанный объем ОЭ вводили шприцем при комнатной температуре в сорбционную ячейку, где полимер насыщался ОЭ при давлении 4·10⁴ Па. Кинетику десорбции ОЭ из ПВХ изучали на термовесах TGS-2 («Перкин – Элмер») и в вакуумной ячейке с обогревом на ИК-спектрофотометре «Перкин – Элмер 577» (остаточное давление 13 Па).